

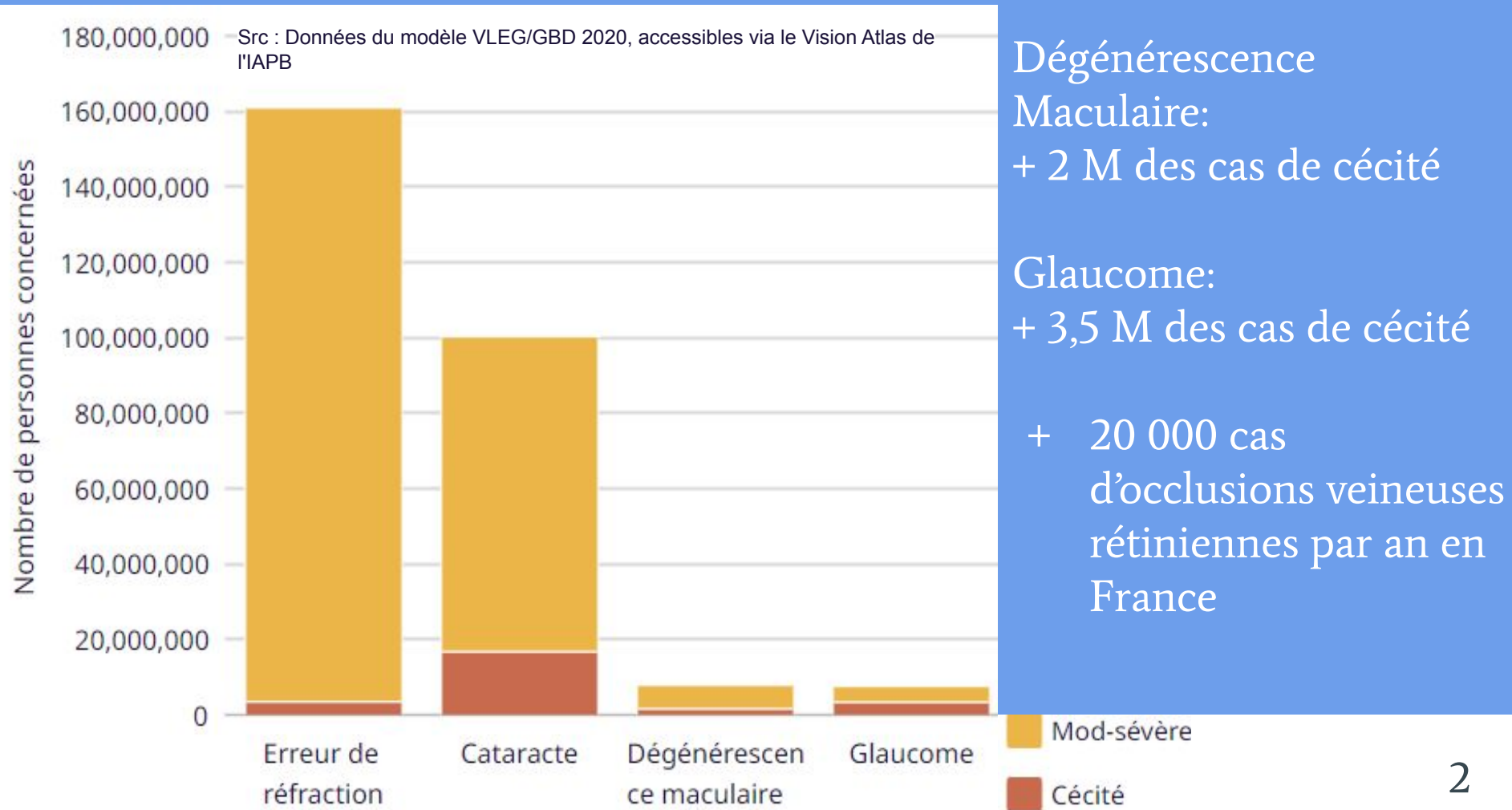
Principe et application de la vélocimétrie Doppler en hémodynamique ophtalmologique

Candidat 17763: Guillaume EYMERY

Session 2022

Un apport dans le monde médical:

90 % des pertes de vision sont évitables ou traitables



Comment mesurer efficacement la vitesse de circulation du sang dans un vaisseau rétinien ?

I) Présentation

- 1) Un apport dans le monde médical
- 2) Fonctionnement de l'AO LDV
- 3) La démarche retenue

II) Construction d'un modèle

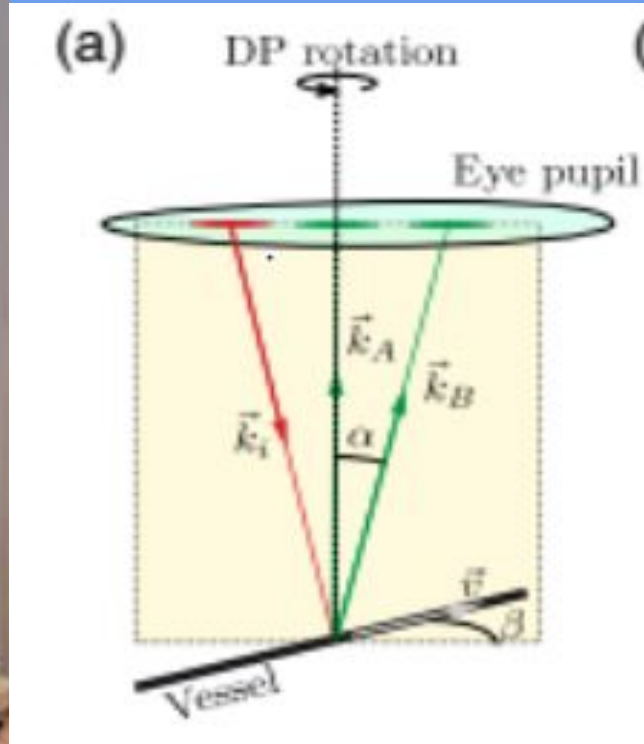
- 1) Hypothèses pour l'étude
- 2) Doppler à un faisceau
- 3) Doppler à deux faisceaux, modèle retenu

III) Expérience

- 1) Le dispositif expérimental
 - Montage optique*
 - Montage électrique*
 - Montage hydraulique*
- 2) Acquisition des données et limites expérimentales
- 3) Traitement des résultats

Conclusion

L'AO LDV:

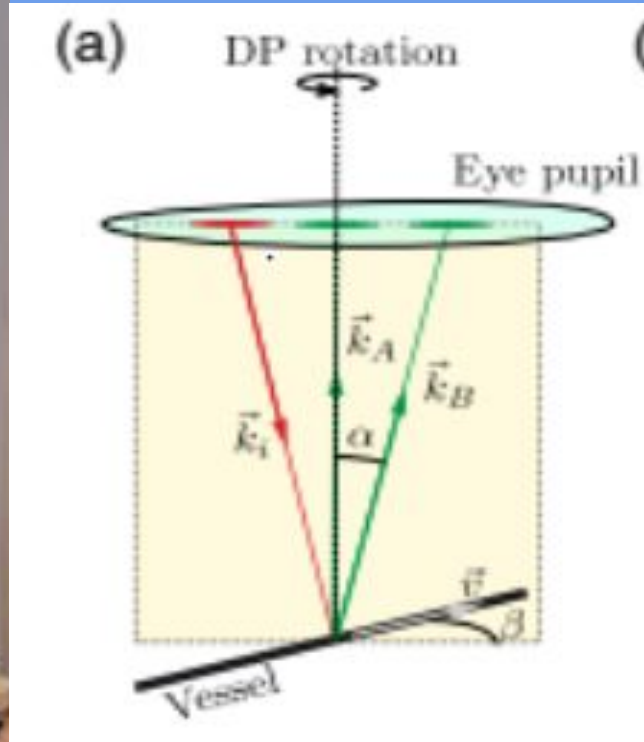


Adaptive Optics : image HD de la rétine

Laser Doppler Velocimetry: vitesse d'une globule rouge

RBF: Retinal Blood Flow

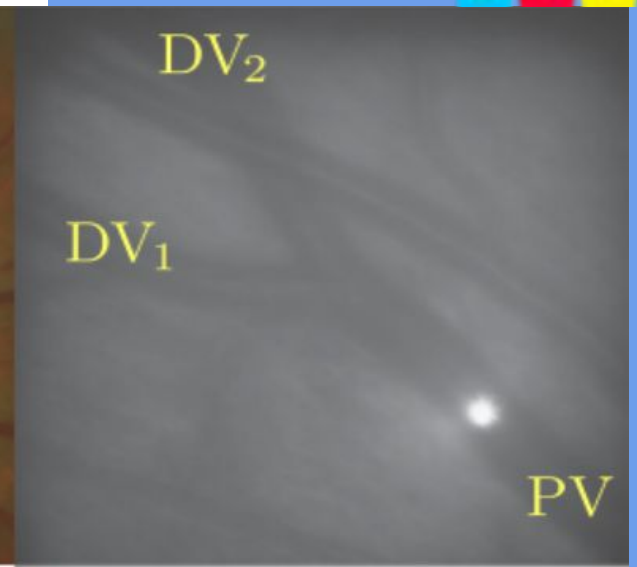
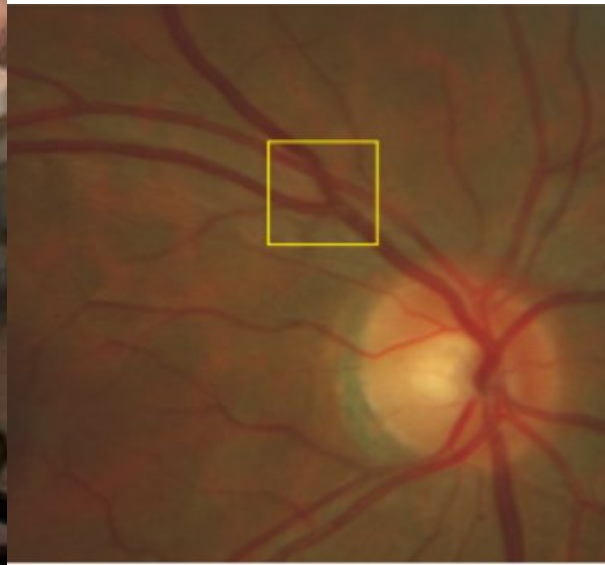
L'AO LDV:



Adaptive Optics : image HD de la rétine

Laser Doppler Velocimetry: vitesse d'une globule rouge

RBF: Retinal Blood Flow



La démarche retenue:

- **Déterminer** la vitesse d'une microparticule en écoulement permanent dans un cylindre
- **Proposer** un moyen plus précis permettant d'obtenir des mesures interprétables ainsi que les équations associées
- **Construire** un montage optoélectrique pour mesurer la vitesse d'une microparticule en écoulement
- **Comparer** le débit volumique mesuré avec celui de la pompe

Hypothèses de l'étude:

Hypothèses optiques

- R : référentiel galiléen (laboratoire)
- LASER fixe dans R
- Le LASER émet une OPPM
- P : particule du fluide en mouvement rectiligne uniforme dans R
- v : vitesse de P

Hypothèses hydrauliques

- Fluide transparent en écoulement permanent
- Conduite cylindrique de section constante
- Effets de bord négligés

Hypothèses de l'étude:

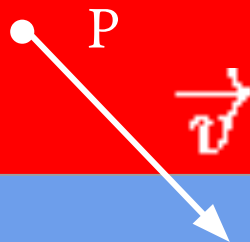
Hypothèses optiques

- R : référentiel galiléen (laboratoire)
- LASER fixe dans R
- Le LASER émet une OPPM
- P : particule du fluide en mouvement rectiligne uniforme dans R
- v : vitesse de P

Hypothèses hydrauliques

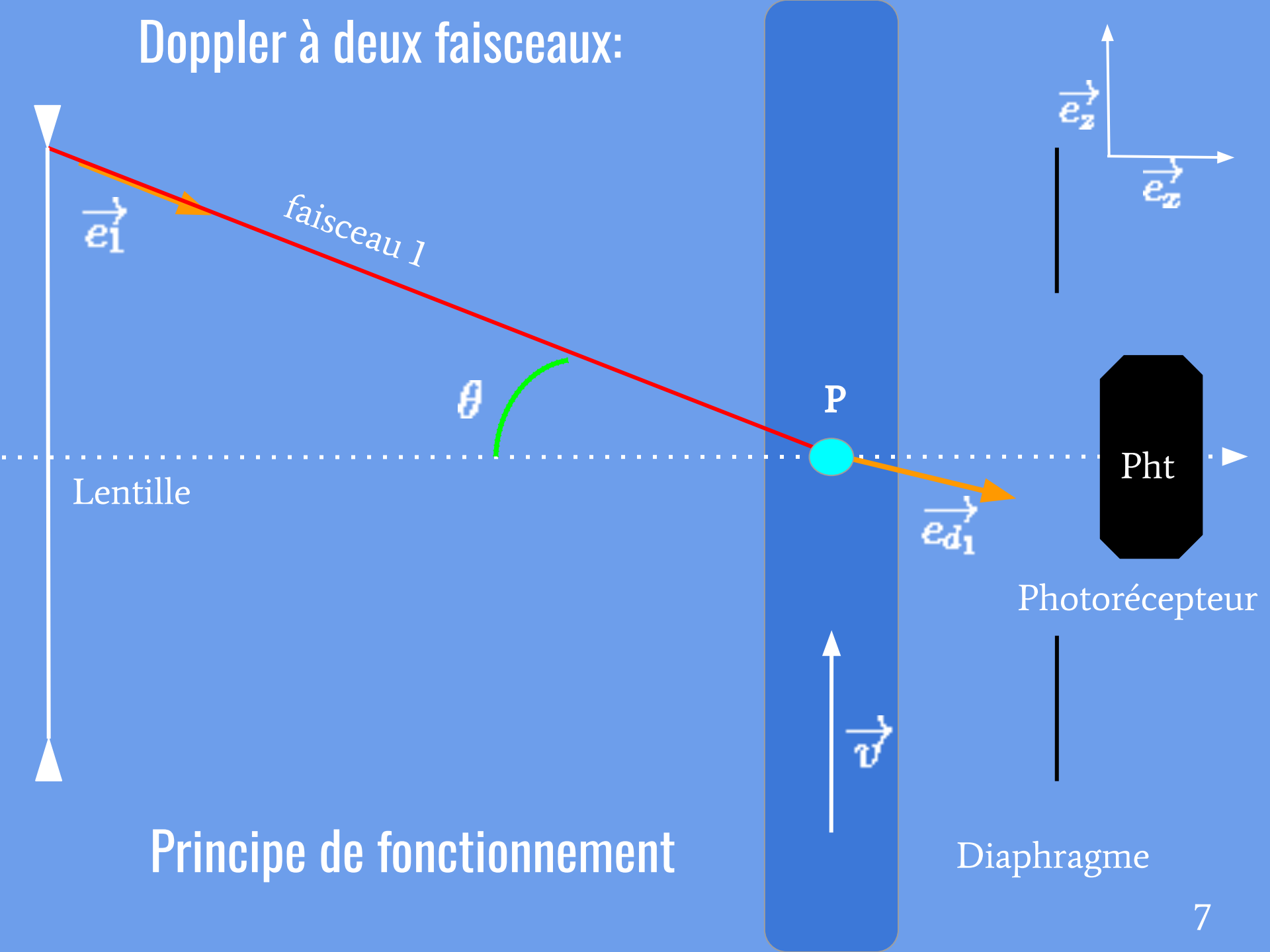
- Fluide laminaire transparent en écoulement permanent
- Conduite cylindrique de section constante
- Effets de bord négligés

Doppler à un faisceau:



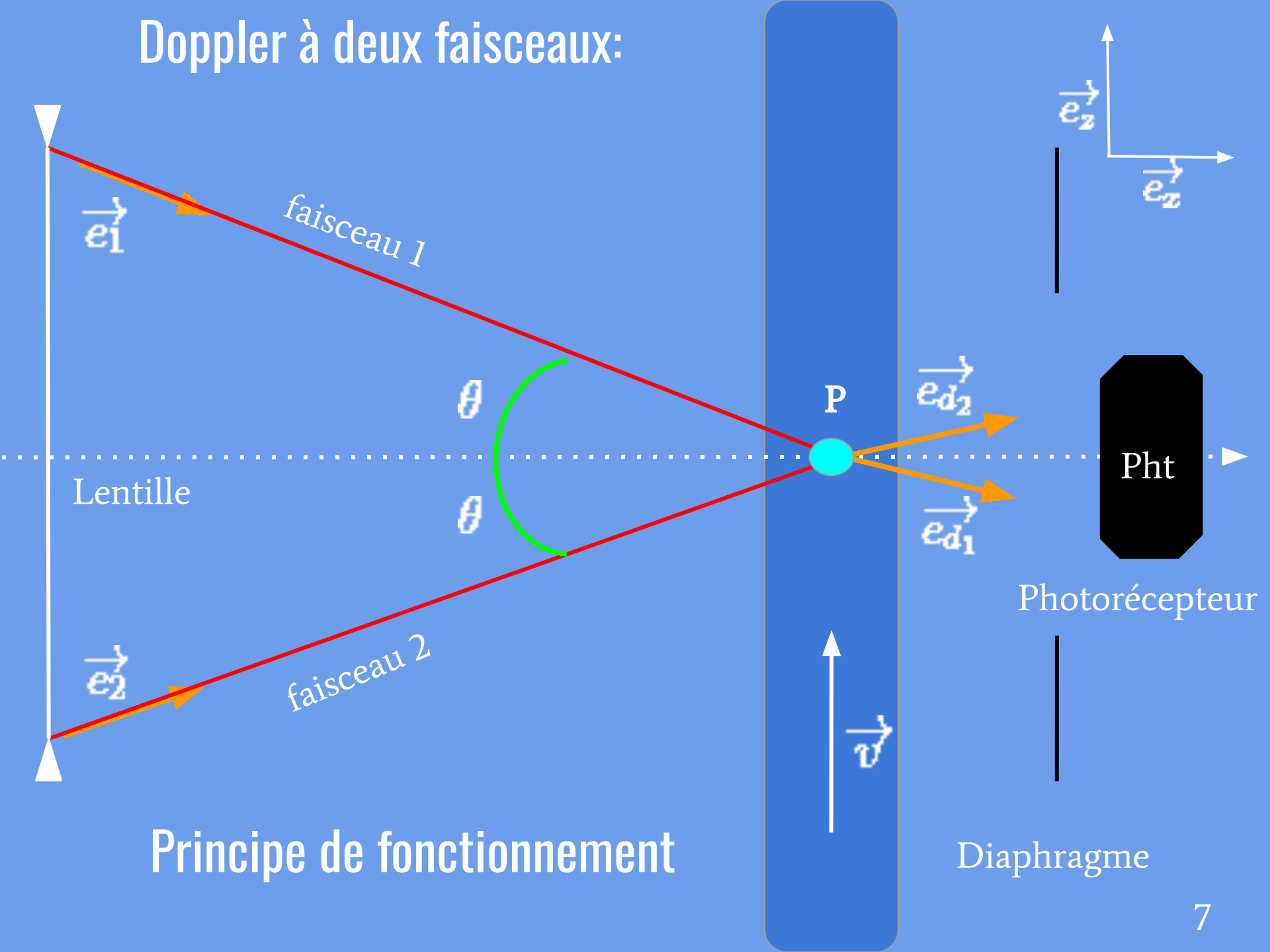
$$f_{R1} = f_{e1} \left(1 - \frac{\vec{e_1} \cdot \vec{v}}{c_0} \right) \quad *$$

Doppler à deux faisceaux:



Principe de fonctionnement

Doppler à deux faisceaux:



Doppler à deux faisceaux: modèle retenu (1/2)

Soient f_{P_1} et f_{P_2} les fréquences reçues par P

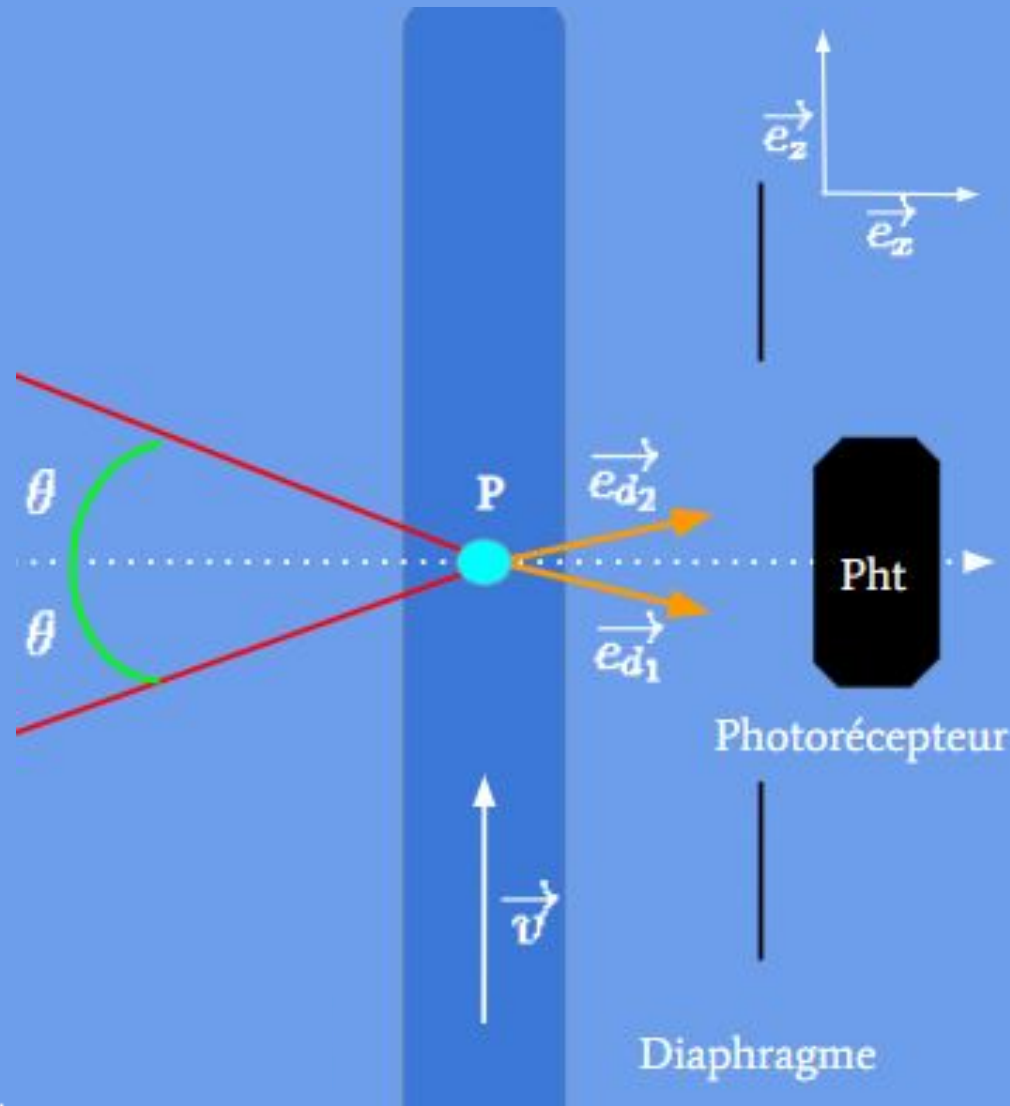
Avec $\boxed{*}$:

$$f_{P_1} = f_e \left(1 - \frac{\vec{e}_1 \cdot \vec{v}}{c_0}\right)$$

Soit f_{Pht} la fréquence reçue par la photodiode

Avec $\boxed{*}$ sur un référentiel R' en mouvement :

$$f_{Pht_1} = f_e \left(1 + \frac{\vec{e}_{d_1} \cdot \vec{v}}{c_0}\right) \left(1 - \frac{\vec{e}_1 \cdot \vec{v}}{c_0}\right) \boxed{**}$$



Doppler à deux faisceaux: modèle retenu (2/2)

DL1 ** en considérant $c_0 \gg \|\vec{v}\|$:

$$f_{Pht1} \simeq f_e + \frac{(\vec{e}_{d1} - \vec{e}_1) \cdot \vec{v}}{\lambda_e}$$

Avec le même raisonnement:

$$f_{Pht2} \simeq f_e + \frac{(\vec{e}_{d2} - \vec{e}_2) \cdot \vec{v}}{\lambda_e}$$

Ainsi:

$$f_{Pht1} - f_{Pht2} \simeq 2 \frac{v \cdot \sin(\theta)}{\lambda_e}$$

$$f_{Pht1} - f_{Pht2} \simeq 2 \cdot \frac{v \cdot \theta}{\lambda_e}$$

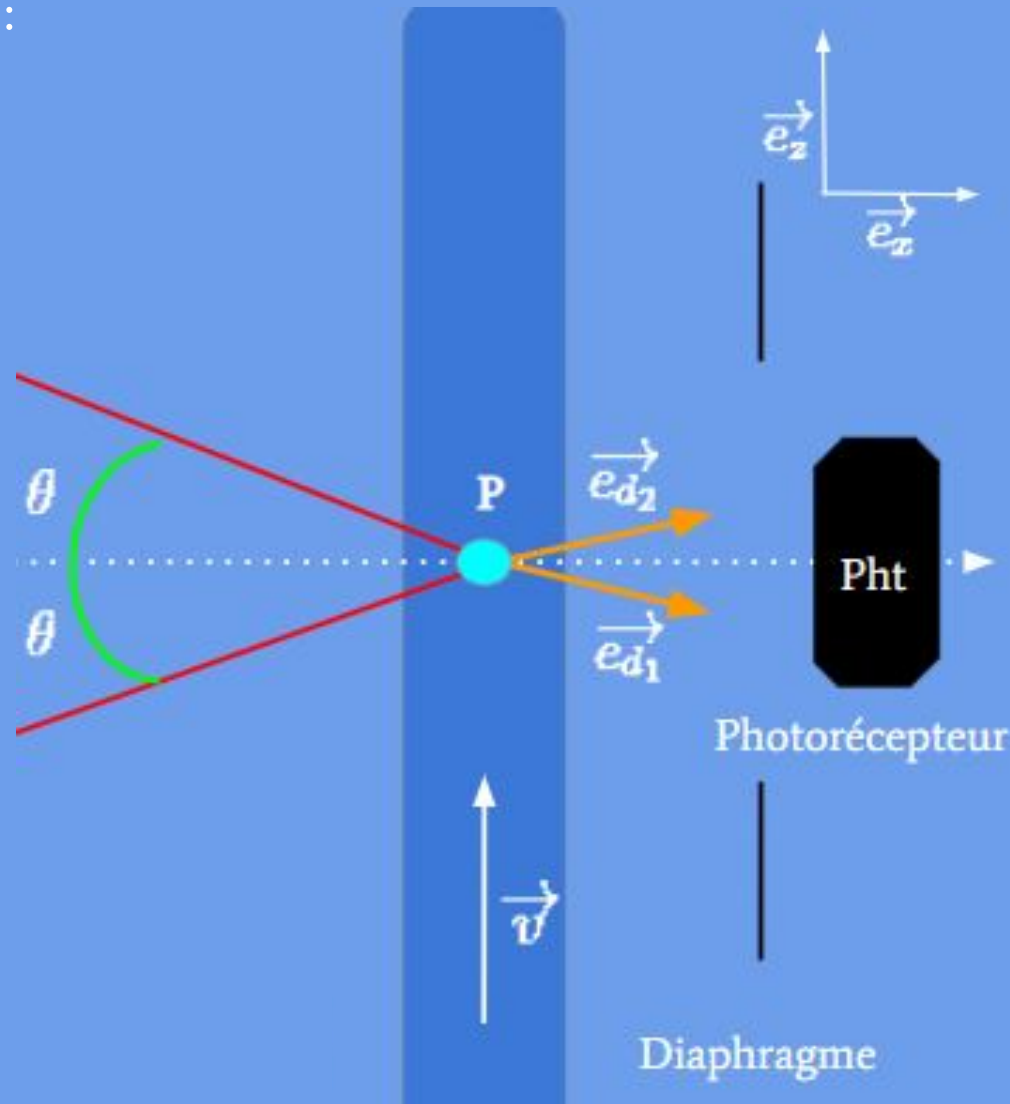
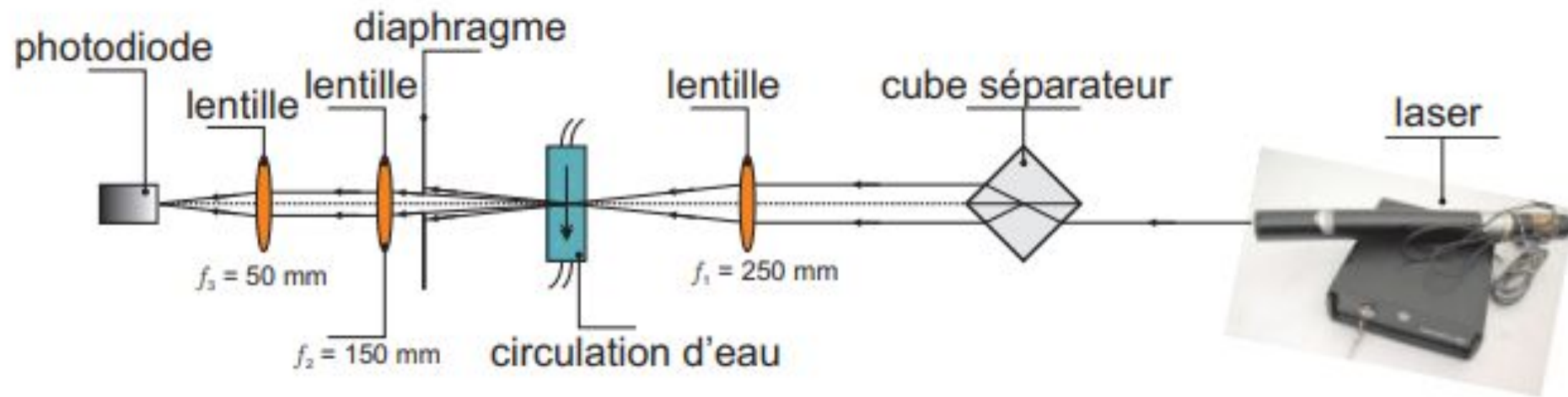
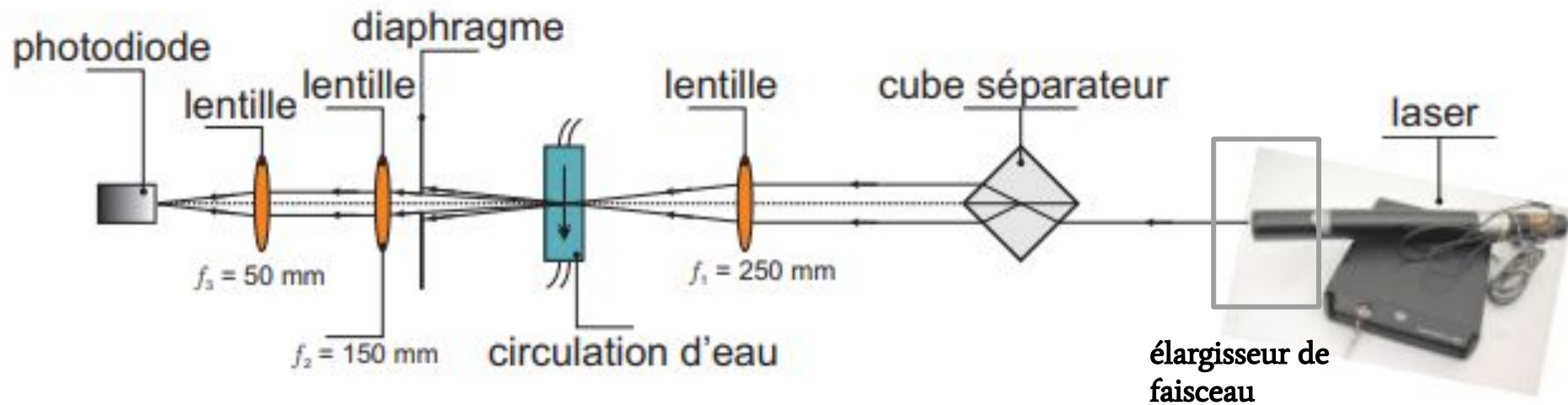


Schéma du montage optique:

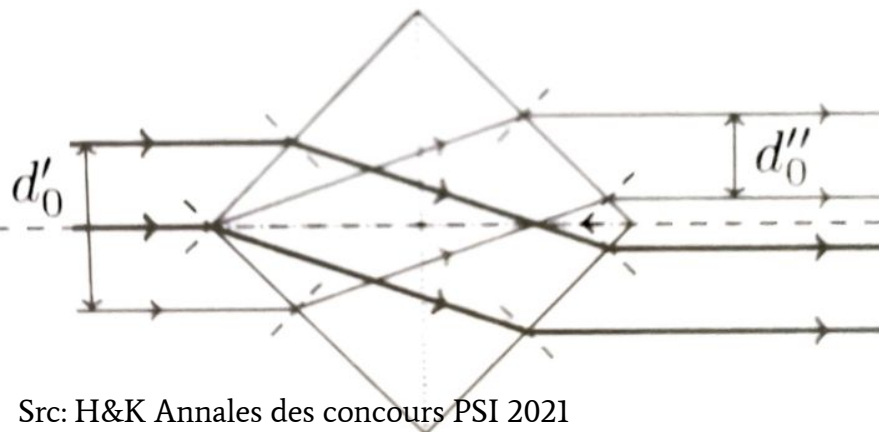


<https://docplayer.fr/4838891-Tp-velocimetrie-laser-materiaux-milieus-biologiques-securite-laser.html>

Schéma du montage optique:



Principe du diviseur de faisceau



Principe de l'élargisseur de faisceau

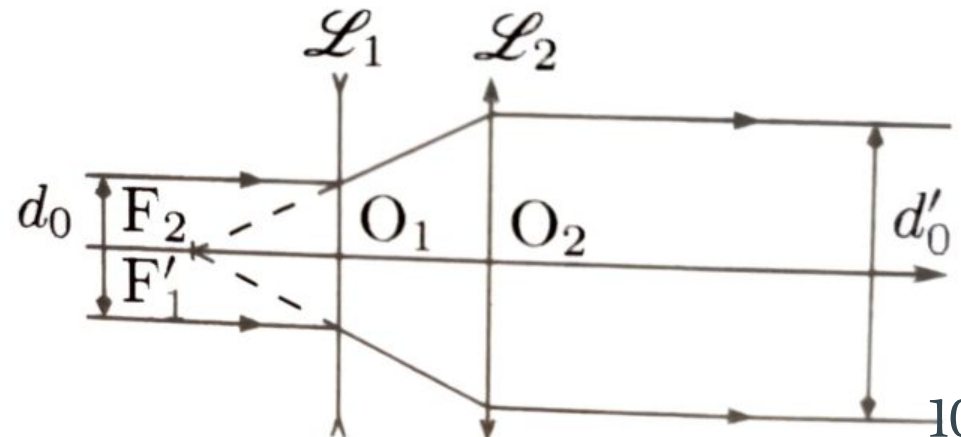
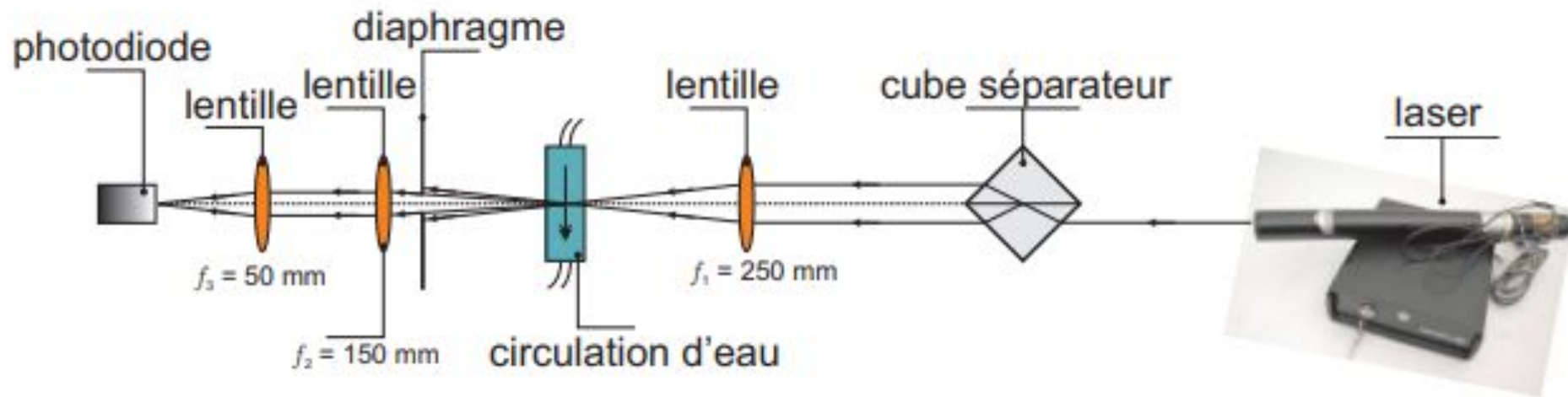
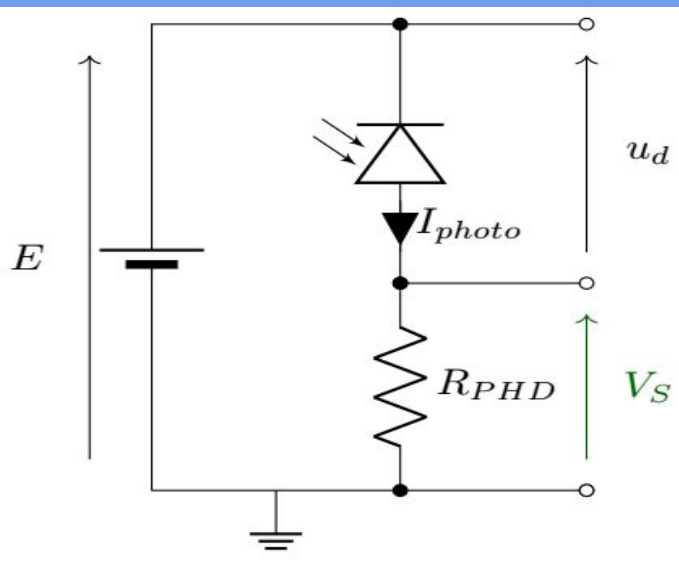


Schéma du montage optique:



Montage électrique:

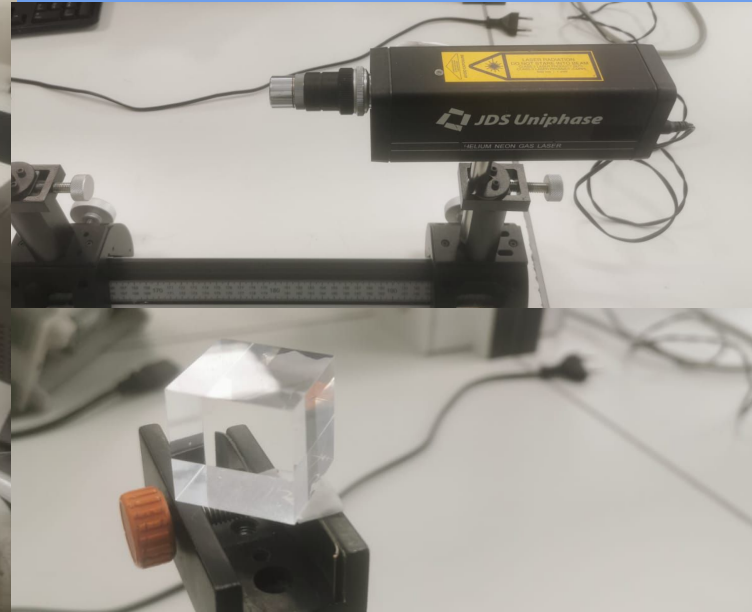
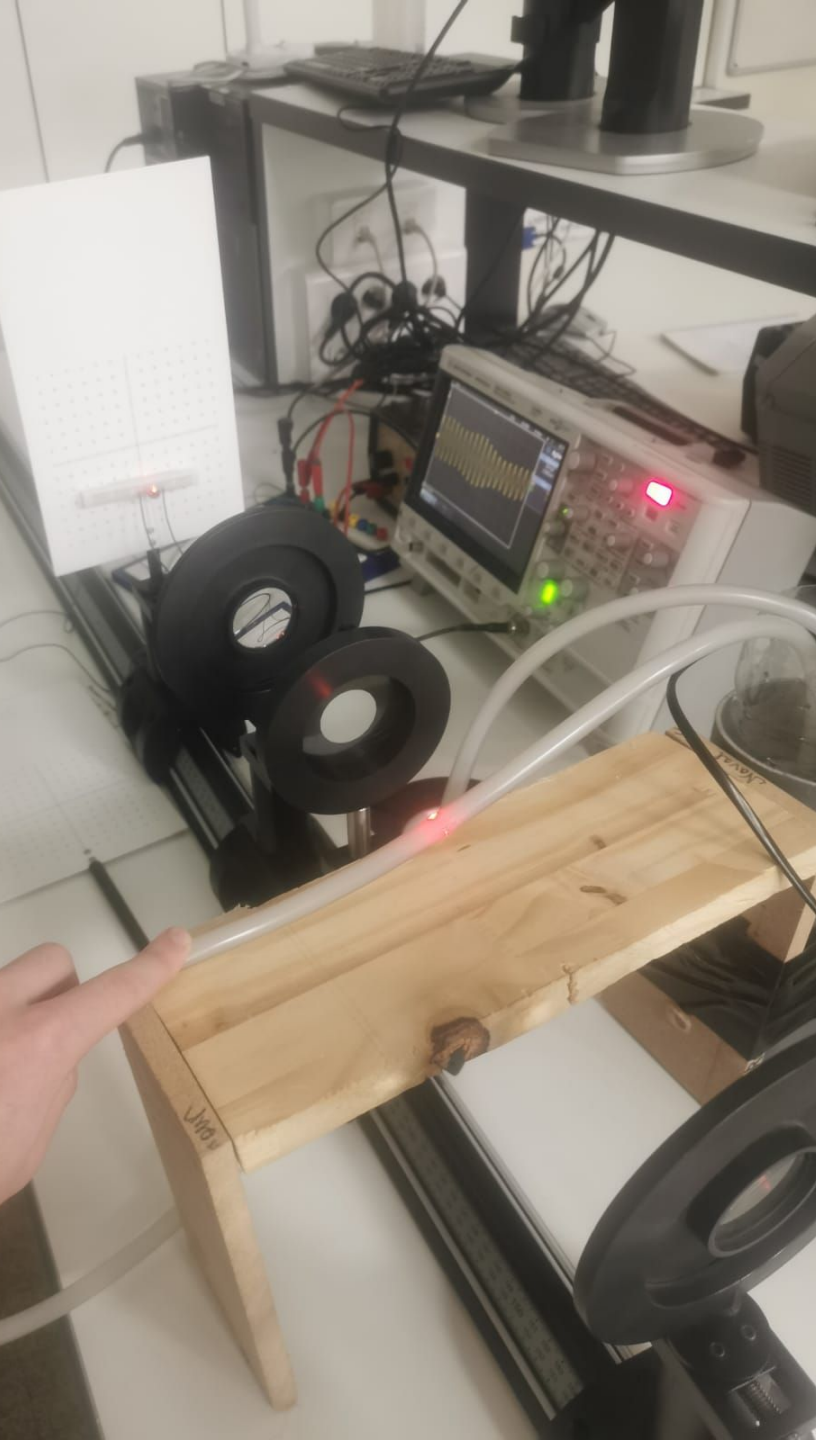


$$R_{PHD} = 2,6 \text{ k}\Omega$$

V_S : tension mesurée par oscilloscope

E continue : $E = 12\text{V}$

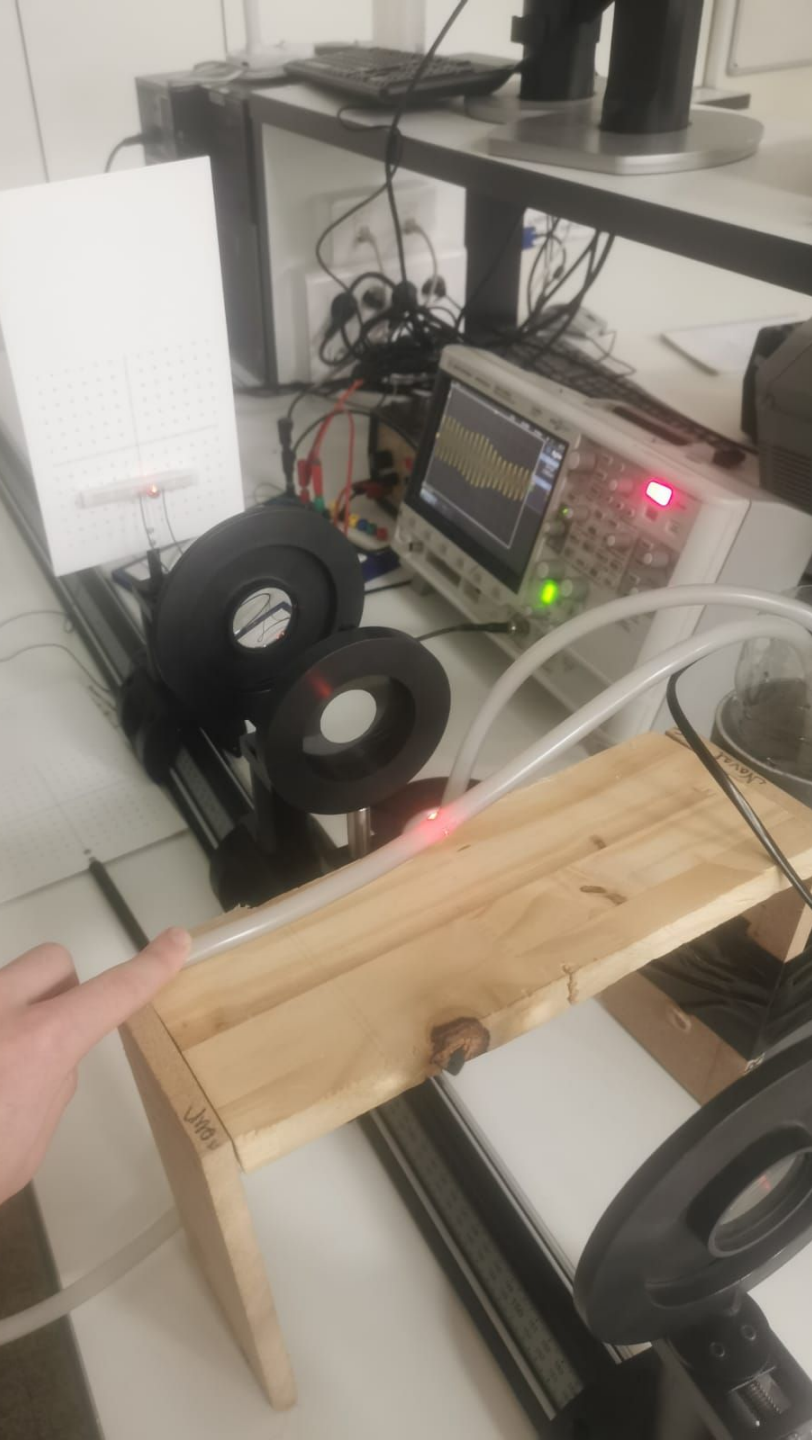
Montage optique:



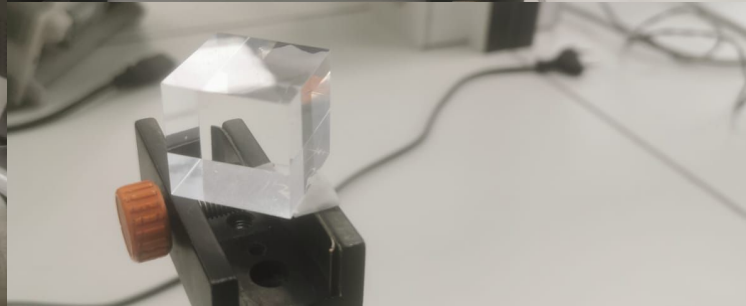
LASER 633 nm
+élargisseur de
faisceau

Diviseur de
faisceau

Montage optique:

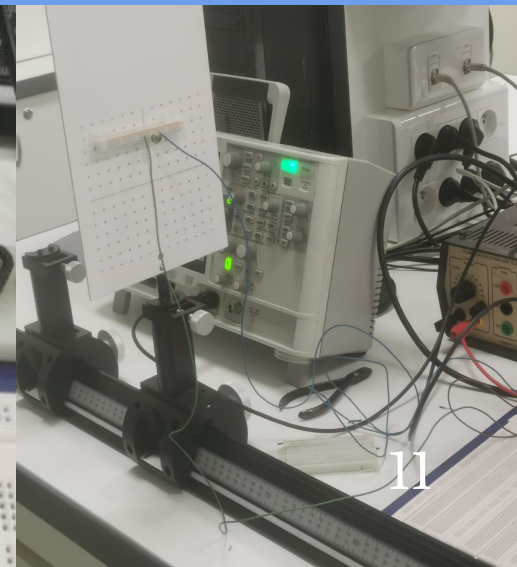
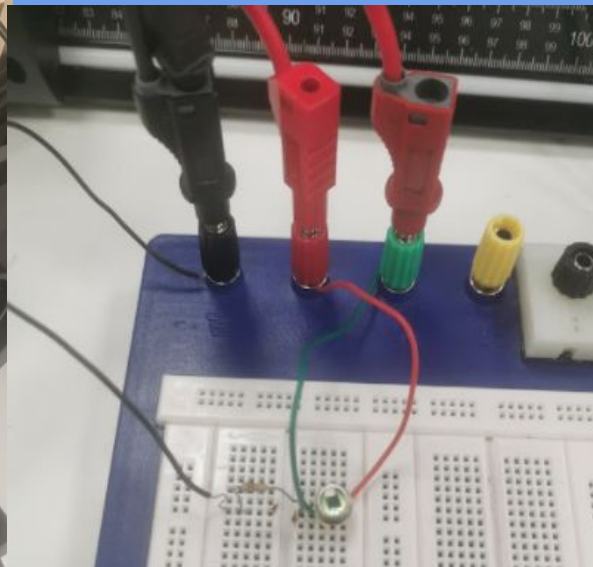


LASER 633 nm
+élargisseur de
faisceau



Diviseur de
faisceau

Montage électrique:



Montage Hydraulique:

→ Le sang, suspension de particules dans un plasma

Fluide non-newtonien , difficulté à le représenter *in vitro*

→ L'effet Fåhræus–Lindqvist : la viscosité dynamique du sang peut se rapprocher de celle du thé (1,2 mPl)

→ Sang: particules de thé en suspension dans de l'eau

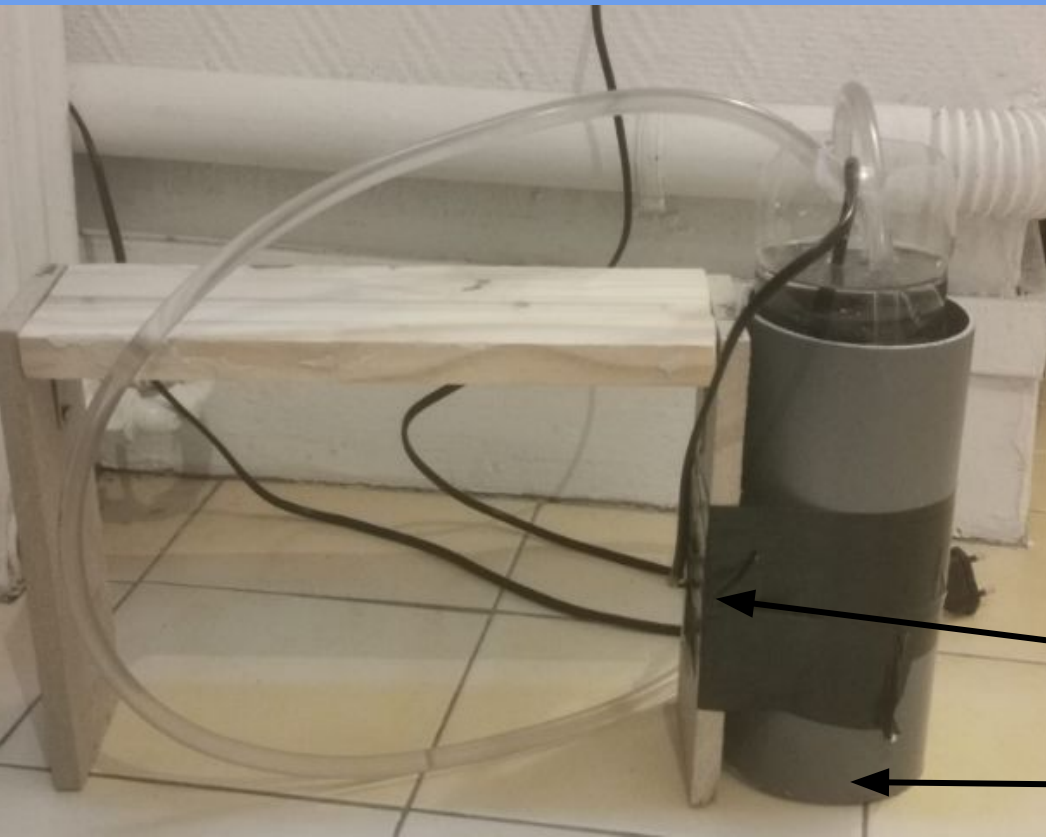
Montage Hydraulique:

→ Le sang, suspension de particules dans un plasma

Fluide non-newtonien , difficulté à le représenter *in vitro*

→ L'effet Fåhræus–Lindqvist : la viscosité dynamique du sang peut se rapprocher de celle du thé (1,2 mPl)

→ Sang: particules de thé en suspension dans de l'eau



Support

D = 12 mm

Récipient + pompe

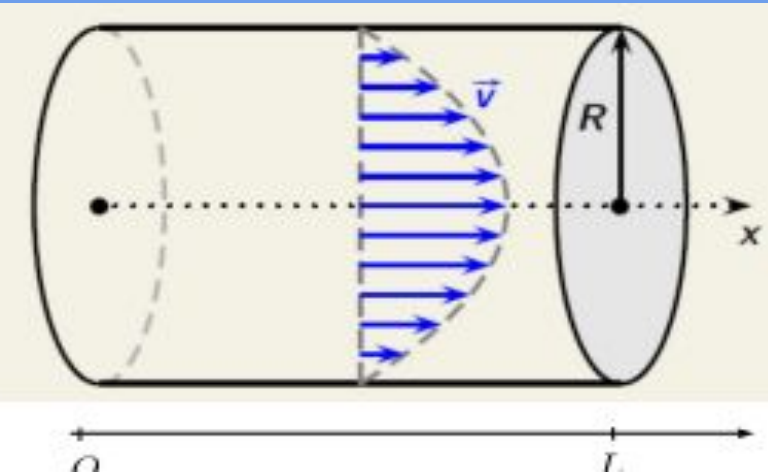
Montage Hydraulique:

→ Le sang, suspension de particules dans un plasma

Fluide non-newtonien , difficulté à le représenter *in vitro*

→ L'effet Fåhræus–Lindqvist : la viscosité dynamique du sang peut se rapprocher de celle du thé

→ Sang: particules de thé en suspension dans de l'eau



$$\vec{v} = V_0 \left(1 - \frac{r^2}{R^2} \right) \vec{u}_x$$

$$D_v = \iint_S \vec{v} \cdot d\vec{S}$$

$$D_v = \pi V_0 \frac{R^2}{2}$$

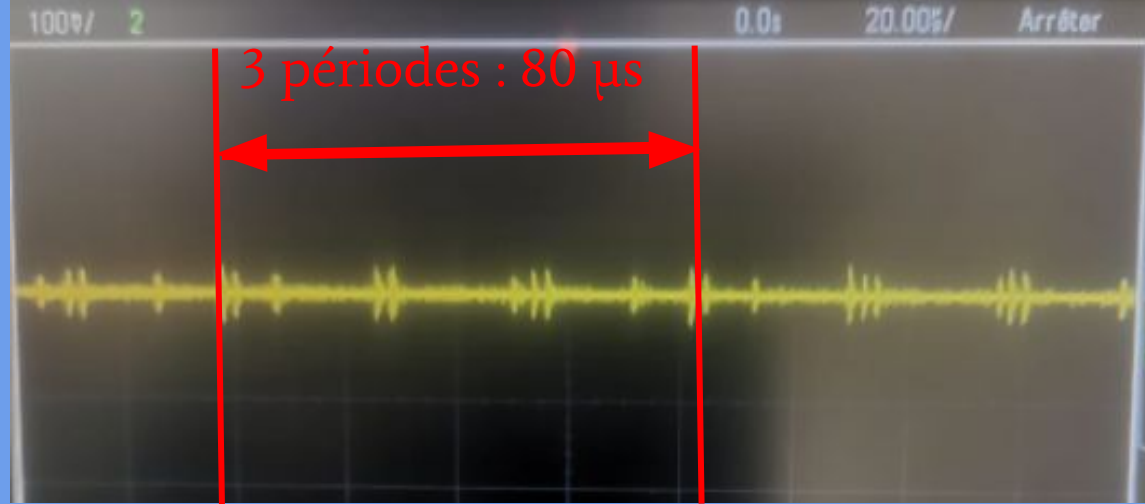


→ Débit volumique, loi de Hagen-Poiseuille

Acquisition des données:

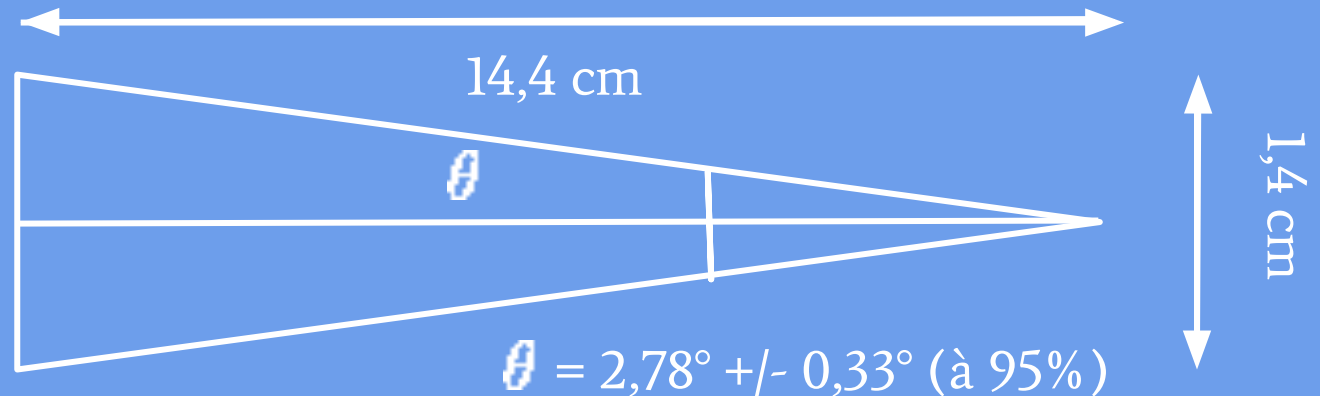
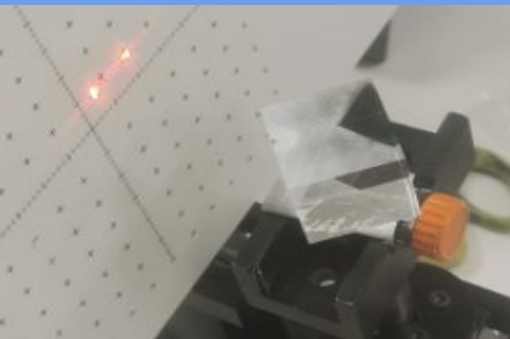
$$T = 28 \mu\text{s} \pm 2,9 \mu\text{s}$$

$$f_{Ph1} - f_{Ph2} = 35\,714 \text{ Hz} \\ \pm 2\,063 \text{ Hz (à 95 \%)}$$



Difficultés expérimentales et incertitudes:

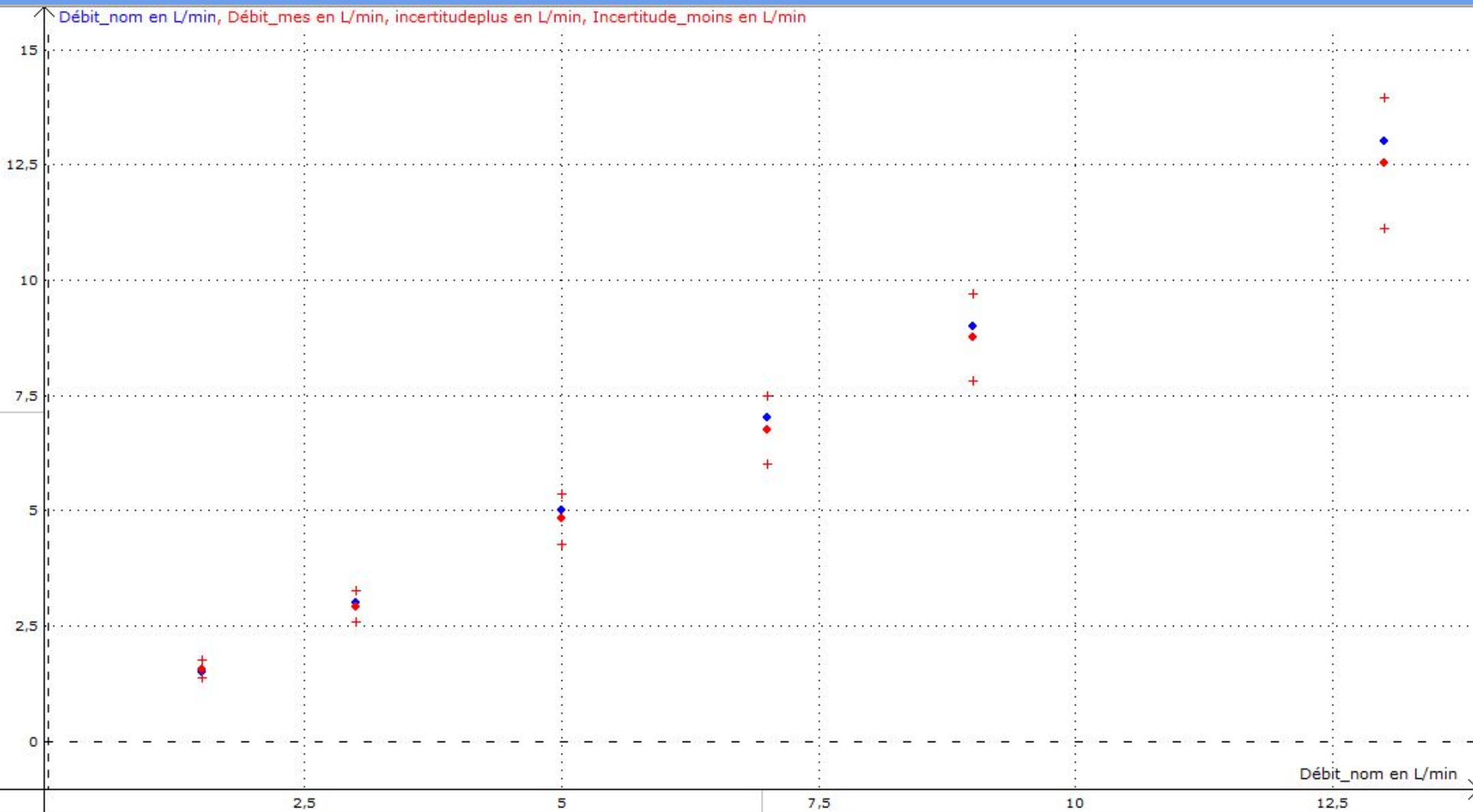
Mesure de θ :



- Signal reçu faible / très atténué
- Lois de Snell Descartes non prises en compte

Traitement des données:

Débit nominal, débit mesuré et incertitudes sur le débit mesuré (en L/min)



RBF dans un capillaire: 9,1 $\mu\text{L}/\text{min}$

Annexe :

En appliquant aux faisceaux 1 & 2 la relation obtenue pour le Doppler à 1 faisceau on obtient: f_{P1} et f_{P2} les fréquences reçues par la particule P

$$f_{P1} = f_e \left(1 - \frac{\vec{e}_1 \cdot \vec{v}}{c_0}\right) \quad f_{P2} = f_e \left(1 - \frac{\vec{e}_2 \cdot \vec{v}}{c_0}\right)$$

Soit f_{Pht} la fréquence reçue par la photodiode

Dans le référentiel R' de la particule, la photodiode est mouvement rectiligne uniforme à la vitesse - v par rapport à R:

$$f_{Pht1} = f_{P1} \left(1 - \frac{\vec{e}_{d1} \cdot (-\vec{v})}{c_0}\right) \quad f_{Pht1} = f_{P1} \left(1 + \frac{\vec{e}_{d1} \cdot \vec{v}}{c_0}\right)$$

D'où:

$$f_{Pht1} = f_e \left(1 + \frac{\vec{e}_{d1} \cdot \vec{v}}{c_0}\right) \left(1 - \frac{\vec{e}_1 \cdot \vec{v}}{c_0}\right)$$

En développant:

$$f_{Pht1} = f_e \left(1 + \frac{(\vec{e}_{d1} - \vec{e}_1) \cdot \vec{v}}{c_0} - \frac{(\vec{e}_1 \cdot \vec{v})(\vec{e}_{d1} \cdot \vec{v})}{c_0^2}\right)$$

Annexe :

On peut considérer: $c_0 \gg \|\vec{v}\|$

En effectuant un DL1 , on obtient:

$$f_{Pht_1} \simeq f_e + \frac{(\vec{e}_{d_1} - \vec{e}_1) \cdot \vec{v}}{\lambda_e}$$

Et avec le même raisonnement:

$$f_{Pht_2} \simeq f_e + \frac{(\vec{e}_{d_2} - \vec{e}_2) \cdot \vec{v}}{\lambda_e}$$

Ainsi:

La dimension du photorécepteur étant négligeable devant la distance (L,Pht) considère \vec{e}_{d_1} et \vec{e}_{d_2} sont colinéaires à \vec{e}_z :

On en déduit donc:

$$f_{Pht_1} - f_{Pht_2} \simeq 2 \frac{v \cdot \sin(\theta)}{\lambda_e}$$

Annexe: Calculs d'incertitudes

$$u_{lecture,co} = u_{lecture,ca} = \frac{10^{-3}}{\sqrt{6}} \text{ (pour une double lecture)}$$

$$U_{lecture,co} = U_{lecture,ca} = \frac{2 \cdot 10^{-3}}{\sqrt{6}} = 8,16 \cdot 10^{-4} \text{ mètres}$$

(incertitude élargie à 95%)

Donc:

$$U_{\tan(\theta)} = \tan(\theta) \cdot \sqrt{\left[\frac{U_{lecture,co}}{co}\right]^2 + \left[\frac{U_{lecture,ca}}{ca}\right]^2}$$

$$U_{\tan(\theta)} = 5,67 \cdot 10^{-3}$$

$$\theta = 0,049 \pm 5,67 \cdot 10^{-3} \text{ rad}$$

$$u_{lecture,T} = \frac{1 \text{ graduation}}{\sqrt{12}}$$

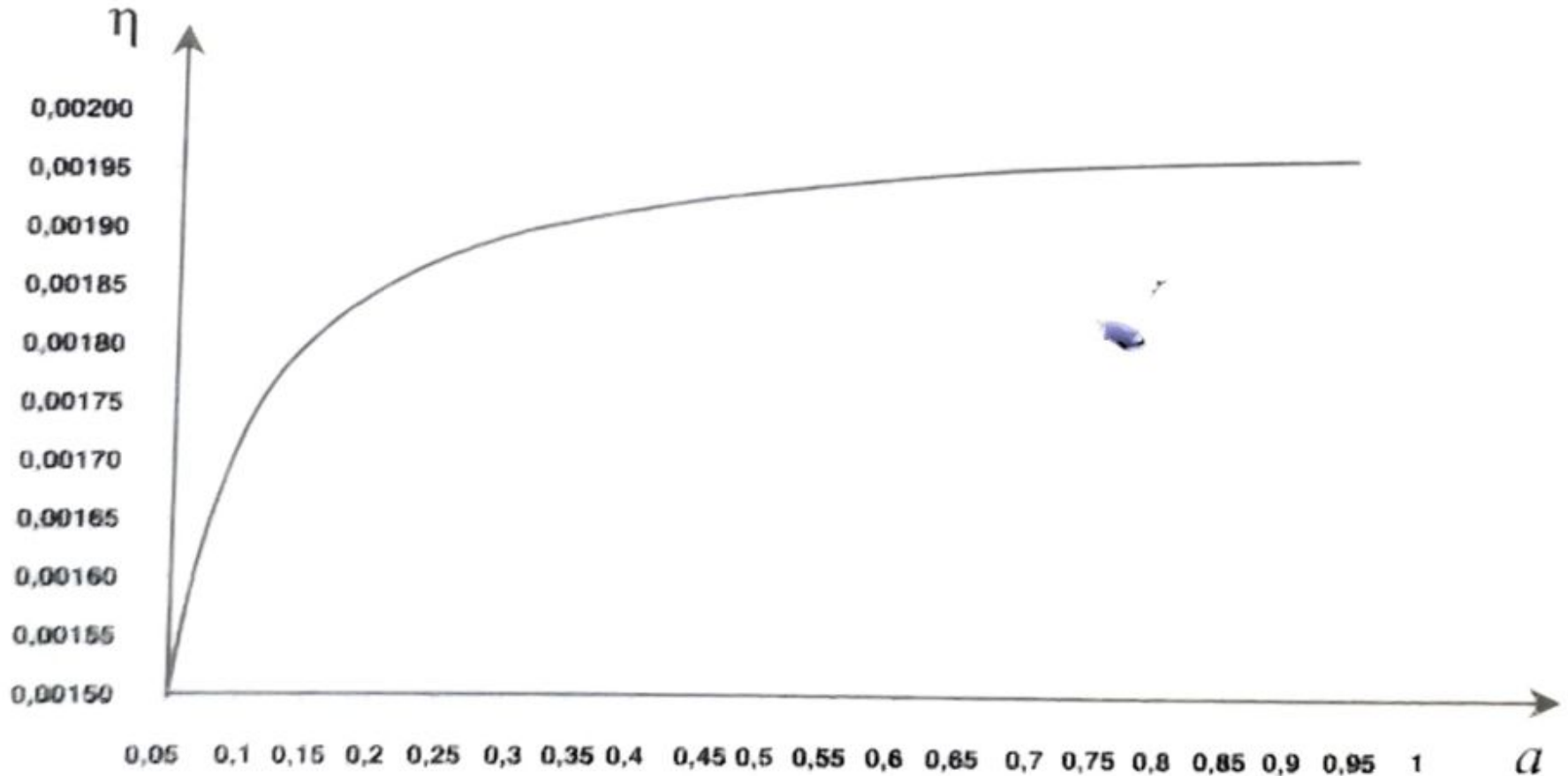
$$u_{lecture,T} = \frac{5 \cdot 10^{-6}}{\sqrt{12}} \cdot 2 = 2,88 \cdot 10^{-6} \text{ s}$$

Incertitude sur la vitesse (quotient) se calcule de la même manière que pour tant (thêta)

Annexe: tableau de mesures

	A	B	C	D	E	F	G
1		Mesure 1	Mesure 2	Mesure 3	Mesure 4	Mesure 5	Mesure 6
2	Angle teta (rad)	0,049	0,049	0,049	0,049	0,049	0,049
3	incertitude teta	0,005585053606	0,005585053606	0,005585053606	0,005585053606	0,005585053606	0,005585053606
4	longueur d'onde (m)	0,000000633	0,000000633	0,000000633	0,000000633	0,000000633	0,000000633
5	période mesurée (s)	0,000028	0,000015	0,0000091	0,0000065	0,000005	0,0000035
6	incertitude période	0,0000029	0,0000029	0,0000029	0,0000029	0,0000029	0,0000029
7	delta fréquence (Hz)	35714,28571	66666,66667	109890,1099	153846,1538	200000	285714,2857
8	incertitude fréquence	2063,175869	2063,175869	2063,175869	2063,175869	2063,175869	2063,175869
9	surface tube (m2)	0,000113097335	0,000113097335	0,000113097335	0,000113097335	0,000113097335	0,000113097335
10	vitesse particule (m/s)	0,2306851312	0,4306122449	0,7098004037	0,9937205651	1,291836735	1,84548105
11	incertitude vitesse particule (m/s)	0,03	0,05	0,08	0,11	0,14	0,21
12	débit pompe (L/s)	0,02608987368	0,04870109754	0,08027653441	0,1123871482	0,1461032926	0,2087189895
13	débit nominal pompe(L/min)	1,5	3	5	7	9	13
14	débit pompe (L/min)	1,565392421	2,922065853	4,816592065	6,743228891	8,766197558	12,52313937
15	incertitude débit pompe	0,203575204	0,3392920066	0,5428672105	0,7464424145	0,9500176184	1,425026428

Annexe: Effet Fahraeus-Lindqvist

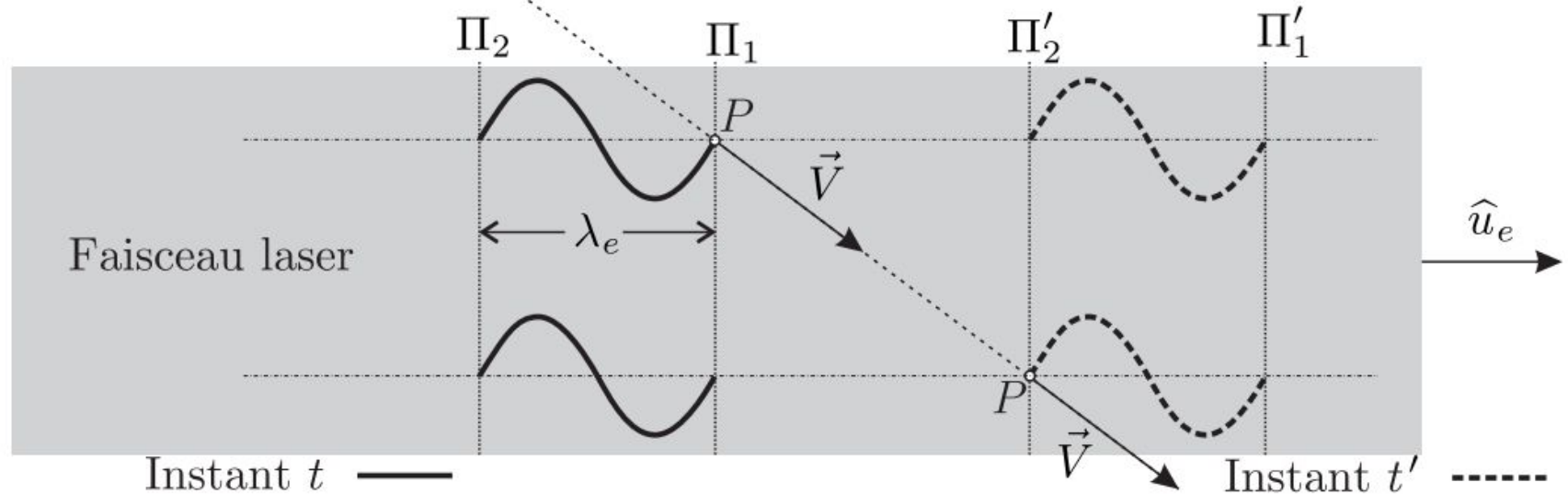


Viscosité du sang (Pa.s) en fonction du rayon a (en mm) du vaisseau sanguin à 37°C

$$\eta_{\text{eau}} = 6,9 \cdot 10^{-4} \text{ Pa.s à } 37^\circ\text{C}$$

Annexe: Effet Doppler pour un faisceau

Direction du mouvement
de la particule



Src: Banque Mine Ponts

D'après le schéma, le front d'onde parcourt dans le même temps la distance

$$d = (\Delta t \vec{V}) \cdot \vec{u}_e + \lambda_e = \frac{1}{f_p} \vec{V} \cdot \vec{u}_e + \lambda_e$$

La distance parcourue par l'onde peut également s'écrire $d = c_0/f_p$. En injectant ce résultat dans l'équation précédente,

$$\begin{aligned} \frac{c_0}{f_p} &= \frac{1}{f_p} \vec{V} \cdot \vec{u}_e + \lambda_e \\ &= \frac{1}{f_p} \vec{V} \cdot \vec{u}_e + \frac{c_0}{f_e} \end{aligned}$$

puisque $\lambda_e = \frac{c_0}{f_e}$

Ainsi,

$$f_e = f_p \frac{\vec{V} \cdot \vec{u}_e}{c_0} + f_p$$

Finalement,

$$f_p = f_e \left(1 - \frac{\vec{u}_e \cdot \vec{V}}{c_0} \right)$$